

具有SCR逆变器异步电 牵引的自动控制系统

能仁

铁道部北京工程机械厂

1978年9月

具有SCR逆变的异步电

牵引的自动控制系统

北京工业机械厂 魏第仁

摘要 — 本文对具有SCR逆变的异步电牵引的自动控制系统进行了理论探讨，提出了控制系统的方框图，并对该系统的一些环节进行了初步定性定量分析。运用状态空间分析法列出了异步电牵引控制系统的状态变量方程，求定了系统的传递矩阵。这样，既可分析研究单个扰动对列车速度的影响，也可分析研究多个扰动对列车速度的综合影响。由于采用了与逆变的可调频率同步旋转的空间坐标系，并用小信号线性化的方程来描述运行中的非线性方程线性化，因此全车分析研究都是按线性定常系统进行的。通过几种传递函数极点和零点的计算，分析了系统的稳定性问题。与此同时，还对系统的渐近稳定性作了初步探讨。通过对系统动态品质和稳定性分析，提出了对系统计算和选择系统参数的一些看法。全文可供理论研究、科学试验和设计制造新型机车自动控制系统参考。

引言

世界科学技术正在以惊人的速度前进着，铁路也不例外。我

同铁路要面对现代化道路先行，就需要求高速度，而实现铁路高速度的关键则是电气化加自动化。

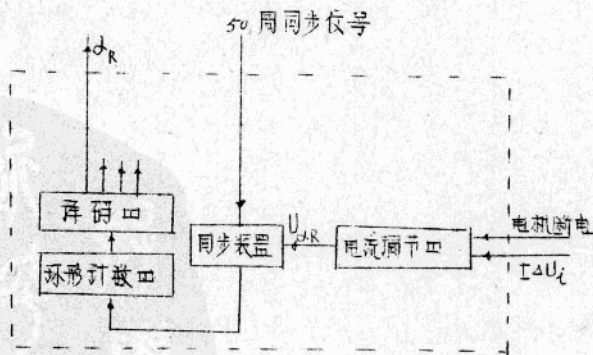
异步电牵引是 70 年代牵引动力发展的方向，其所以是这样，理由有三：① 60 年代晶闸管的产生为克服异步电牵引调速困难的致命弱点奠定了新的可靠的基础；② 异步电牵引有着许多优点，诸如调速平滑，调速范围广，起动力矩均匀恒定，再生制动简单易行，异步牵引机制造工艺简单，成本低廉等等。这些优点在上述新的基础之上已能充分地表现出来；③ SCR 逆变器的作用，使异步电牵引的自动控制易于与电子计算机技术结合起来，特别对将来的微处理器的广泛应用更是前途无量。从以上三来看，异步电牵引是有利于加速实现铁路电气化自动化的，因此，它的自动控制系统的研究无疑是一很有价值的新课题。

我国铁路目前还没有异步电牵引，全世界从 1965 年到 1977 年底止总共只有异步电传动机车 46 台（其中不少还是鼠笼型或群机），在近 12 年可数的 10 台中，研究其自动控制系统的工时是不够的。我国这方面的资料较少见到，国外的书籍也很有限⁽¹⁾⁽²⁾，我们要以世界先进水平作为科学技术发展的起点，在铁路上针对异步电牵引自动控制系统进行理论研究就是一项十分必要的工作。本文从下面四方面进行分析研究：第一部分提出控制系统方框图和简化图并加以适当的分析。第二部分以车速和列车电流（同定支流、八端的五流）为状态变量，以列车速度作为输出量，寻求异步电牵引驱动系统的状态变量方程，求出系统的传递矩阵，並提供一个计算公式。第三部分是用实际数据代入到两种参考机车的一般起动机车八端列车速度特征函数公式中去进行校核和验证的计算。第四部分是对动态品质和稳定性问题进行分析。

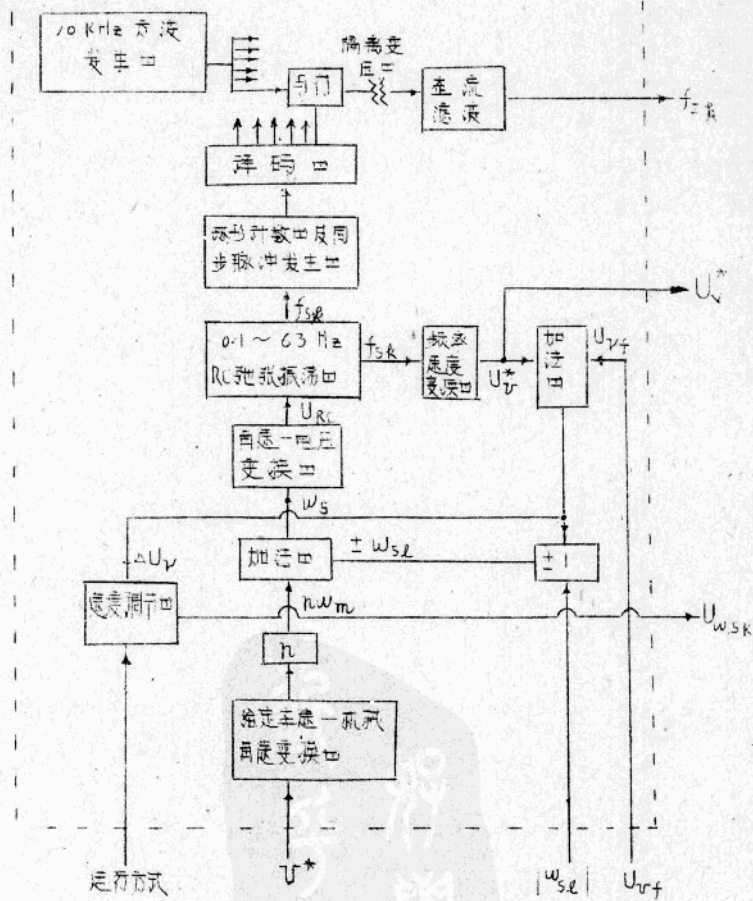
(一) 自动控制系统的方法图和简化框图

具有 SCR 逆变和异步牵引的自动控制系统的控制方法是通过速度反馈运行的。主交流机车振荡采用 RC 驱动振荡器，而直流驱动输出则采用 10 kHz 的矩形波振荡器。这些仪都包括在速度调节单元方框图中。至于控制系统的方框图示于图一-1。速度控制单元方框图和电流控制单元方框图示于图一-2 与图一-3。

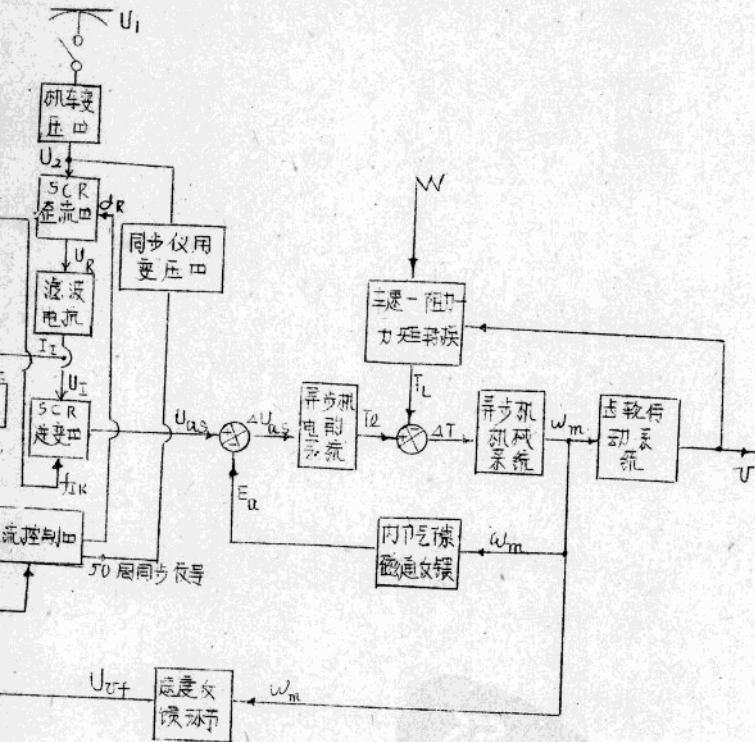
图一-1 中的函数发生由滑模拟量列车在至了区间内运行的速度反馈，作为自动控制系统的手速给定值 U_s 。速度反馈可以通过优秀司机在区间内驾驶列车获得。项目牵引计算得出。逆行方向信号装置主要用于列车起动前、停车后，以反重力状态下速度控制中的速度调节 U_{sR} 置零，并把电流限制在中间电流调节中固定在这样 $-U_{sR}(t)$ ，即可可以使得

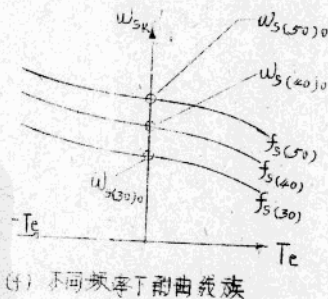
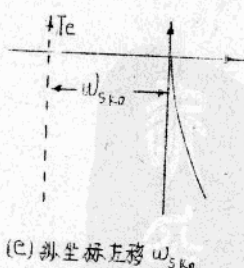
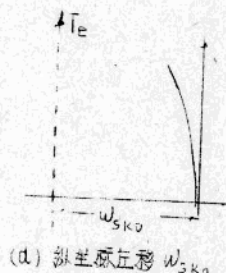
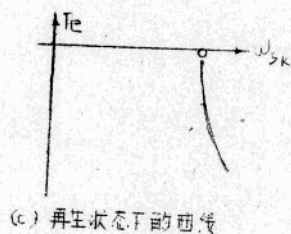
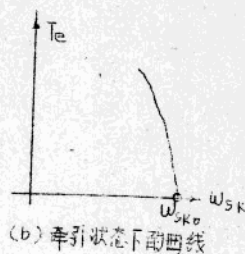
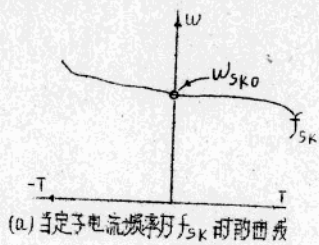


图一-3 电流控制单元方框图



图一-2 速度控制方框图





图一-4 异步机的某一类特性曲线

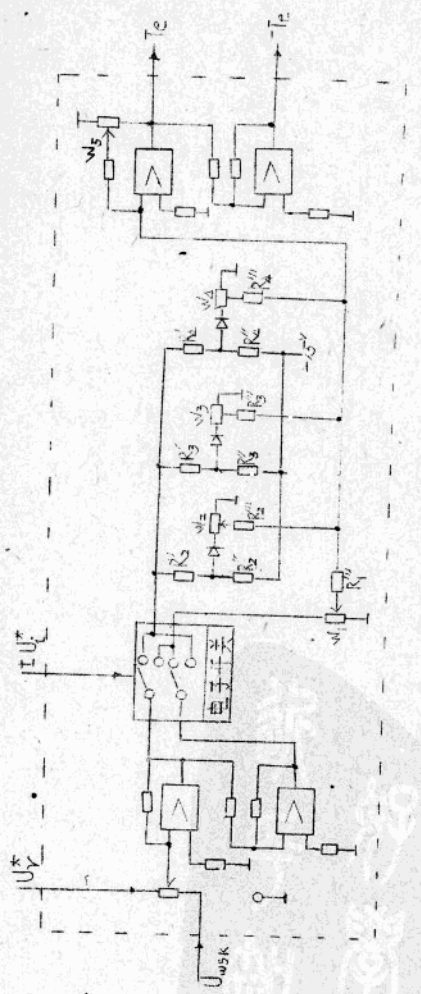


图-5 振荡器发生器

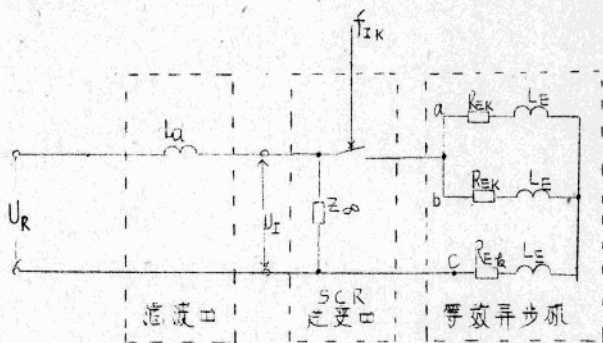
$\omega_k = \omega$ 。因为同步装置本身是 - T 50 周可移相的脉冲发生器，当相位达到 ω 时，电机呈现断电状态。实际上就是把系统封锁了，这种封锁信号是通过信号发送口发出的。而在正常的列车起动和调速时，则能自动解除这种封锁。列车调速指令控制中主要用于正常运行状态下发出恒流起动和调速运行两种信号，当恒流起动时：信号发送口有模拟起动电流给定值 U_e^* 轨道，调速运行时 $U_e^* = 0$ ，再生时 U_e^* 为负值。当调速运行时，列车将自动地被函数发送 - T 调速曲线供调速运行，函数发送口可采用通用的函数发生器。至于特性曲线族发生器，则是一种专用的函数发生器，它是用从模拟异步机前绕组 - T 速度曲线 $T = f(\omega)$ 的。图一-4 所示，(a) 绘出了当电机定子电流频率为 f_{sk} 时的一条曲线，这条曲线可以分解成 (b)、(c) 两个部分，它们都是以电机定子电流的角频率 ω_{sk} 为横坐标，这是特性曲线族发生器的输入量。对于输入量若用电压表示，则可写成 $U_{w_{sk}}$ ，这就是图一-1 上所表现的形式。图一-4 上的纵坐标分两种状态，牵引状态为 T_e ，再生状态为 $-T_e$ ，它们表现为由线圈类型是不同的。(b)、(c) 上白线实际是 (d)、(e) 上白线经坐标移位后获得。图一-5 即表示特性曲线族发生器原理电路。在该电路上，用 $|U_e^*$ 作为坐标轴直信号，它正比于 ω_{sk} ，即当频率 f_{sk} 改变时 U_e^* 也随之变化。 $|U_e^*$ 用以控制电子开关，牵引时 $U_e^* = +$ 或 0 （即实现恒流起动和调速运行），“ T_e ”端有轨道；再生时 $U_e^* = -$ ，“ $-T_e$ ”端有轨道。图中 w_1 用以调整特性曲线在 ω_{sk0} 处切线的斜率， $w_2 \sim w_4$ 用以调整曲线在小范围内线性化时各段直线的斜率，有时为了用一段直线来近似表示（因异步机的特性非常硬），那么就可以去掉两个调节分支而只保留一个调节分支。 R_1' 和 R_2' ， R_3' 和 R_4' ， R_5' 和 R_6' 用以改变负荷位置， $R_7' \sim R_{10}'$ 用以增大 $w_1 \sim w_4$ 的调节范围。这样

一录，特性曲线可以适应不同牵引速度的需要。当 $f_s = 50 \text{ Hz}$ 时，对应于 $\omega_{s(50)}$ 的 U_v^* 可定为 4 伏。最后轨道特性曲线之比例由 ω_s 调定。如果变频调速的频率变化范围为 $0.1 \sim 6.3 \text{ Hz}$ ⁽²⁾，且已假定 $f_s = 50 \text{ Hz} \rightarrow \omega_{s(50)}$ ，轨处的 $U_v^* = 4 \text{ 伏}$ ，则每 Hz 之伏数 = $\frac{4}{50} = 80 \text{ mV}$ ，即每增加 0.1 Hz 坐标移位应增加之伏数为 8 mV 。

为了统一电流变换器，角速一电压变换器，频率一速度变换器等均可用积分中和乘法组成，只是不同量值的比例系数不同。同样地环节，但其轨入量分别可以做成力矩、角速度或者频率的模拟量 U_I 、 ω_s 或 f_{sk} ，轨出则分别为电流的模拟量 U_{rc} 、 R_c 两端口轨入电压 U_{rc} 或速度给定值的模拟量 U_v^* 。这些环节都可当作比例环节处理。电流反馈环节与速度反馈环节均具有惯性环节的特征，它们的瞬时常数分别用反馈滤波的时间常数 τ_{rf} 表示之，通常约为几毫秒。滑差调节中可以采用 PI 型调节器，但实际计算时我们可以把它当作一丁等惯性环节来处理。

SCR 逆流器和 SCR 逆变器均具有滞后环节的特征，其传递函数都可用 $K e^{-st}$ 的形式表示，近似也可用惯性环节表示。它们的滞后时间随着各种不同线路而有所不同，但其最大极限值不超过 10 ms ⁽³⁾，而且在实际线路常常远小于此值，所以我们在作电路分析时也可把它们当作一丁等瞬时开关装置，至于在讨论速度调节器和电流调节器的参数时，上述两种环节的滞后时间影响将被考虑进去。关于逆变器和逆流器的电器和波形，因篇幅所限就不作介绍了。滤波电流过丁瞬时开关装置与驱动列车的等效异步机电势相联，如果滤波电流的电感量为 L_d ，则用以求定其传递函数的等效电感在忽略电阻的

条件下如图一-6 所示。如果还有滤波电容，那儿也可在逆变器输入端再加上滤波电容。既有电感又有电容的滤波回路在感性负载下的传递函数也是可以利用这了等效电路求定的。



图一-6 带负载的滤波器等效电路

通常电容器的时间常数的影响较小，虽然我们也必须给出其传递函数，但在第三部分的实验实例中我们暂不考虑电容的影响。

电流控制和速度控制中的电流调节与速度调节本身都是PI型调节器。它们的调节对象是好几种环形的综合，其中有惯性环节，也有小惯性环节。如图一-7 和图一-8 所示，从图一-1 的方框图中我们已经看到电流反馈的闭环调节是作为速度反馈闭环调节的一部分内环，而速度闭环则是外环。因此，至于图一-7 实际上是包括在图一-8 之中。电流调节器系统等效于一个惯性环节的传递函数在图一-8 中是用 $K_c \frac{1}{1+Ts_i}$ 表示。至于图一-1 上的齿轮传动系统也是一个惯性环节，它不仅包括齿轮，也包括机车上牵引电动机，但它的时滞常数将通过列车总质量⁽⁴⁾ $m(\text{Hr})$ 与旋转电枢一起反映在整丁列车的机

在时间常数 T_M 中。因此齿轮传动系统这个环节只剩下了一个比例系数 K ，它既与齿轮传动比 i 有关，也与列车动轮半径 r 有关。

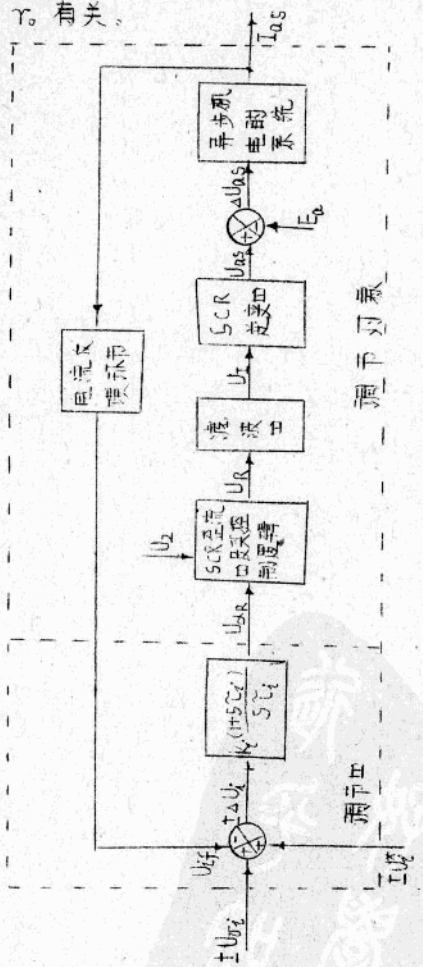
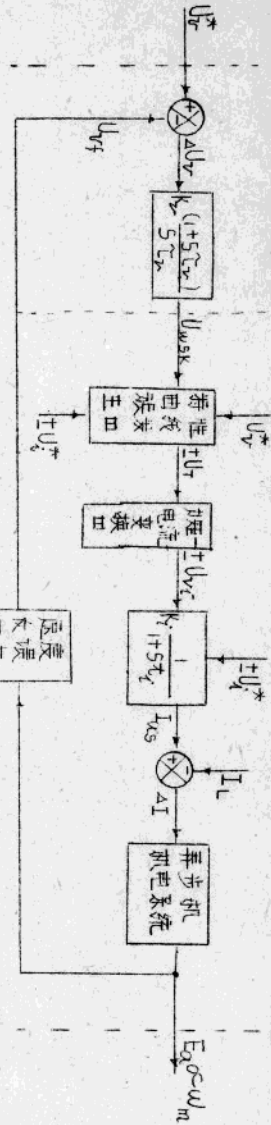


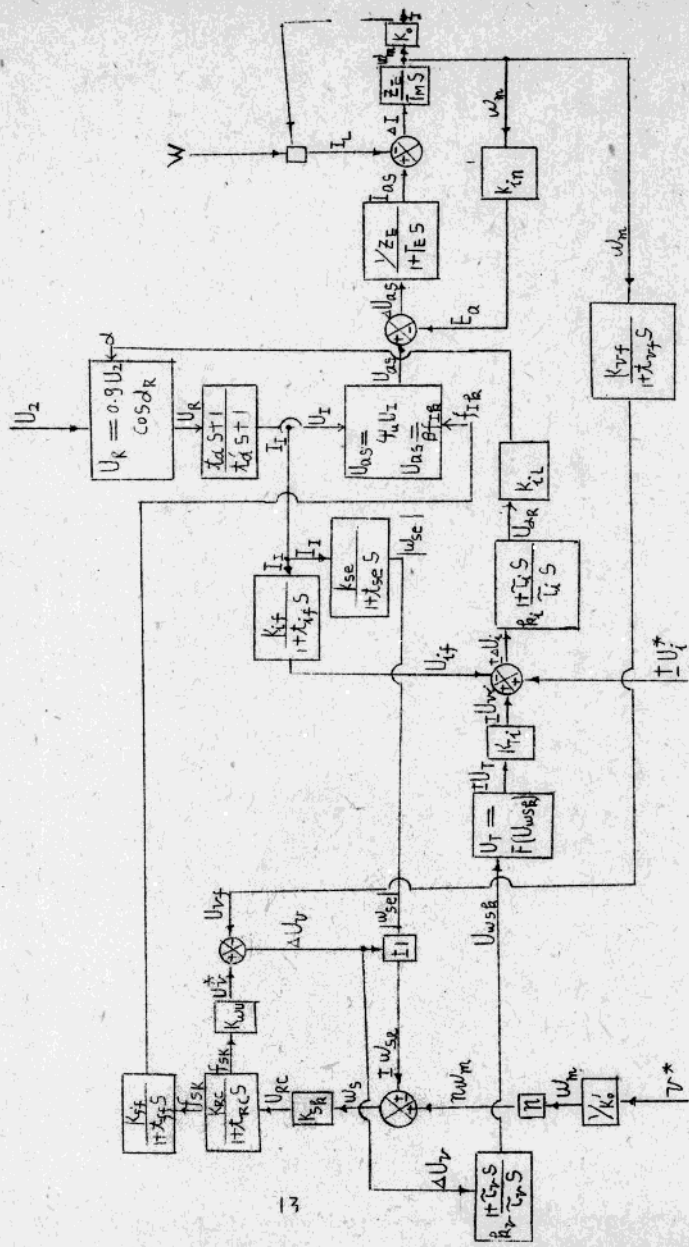
图-7 电流调节工反共调节对象

为了进行计算，我们将图-1的控制系统进行适当简化后，用图-9上的简化框图表示出来。图中凡用长表示者为步进放大环节；凡为导步机的驱动装置，对于至流口和走变口，由于我们在作系统的分析与计算时都把它们看成是瞬时开关装置，因此相当于近似认为是放大环节，但在计算调节时间参数时我们是考虑了它们的时间常数的，实际上它们的时间常数起的作用甚微。 $\frac{U_T}{U_{WSK}}$ 是一种特殊的放大环节，它是以曲线族的形式表达出来的。至于其它环节，则有的是比例积分环节，有的是惯性环节，有的是微分环节，这已在结构图上反映出来，在此就不赘述了。

从图-9可见，若认为牵引网电压不变

图-8 速度调节由及反调节示意





圖一-3 比似計標用範化結構圖

那儿 U_2 也就可以看成是常数。显然，对于这样一丁系统，有两条参考轨入 V^* 和 U_2^* ，它们是车速给定值和列车电流给定值，还有一个丁驱动轨入 w ，这是列车运行阻尼。系统的输出量则是列车速度 V 。

(二) 列车状态变量方程和系统的传递矩阵

由上节我们已经看到，对于这样一丁自动控制系统，列车速度 V 为轨迹量已经是比较明显的了。但我们将选什么量值作为状态变量呢？作为独立的列车状态变量我们将选择两个，一丁是列车电流 I_1 （取 I_{as} ），一丁是车速 V 。因此，车速既是状态变量，也是轨迹量。

我们知道， V 是电机旋转角速度 ω_m （以弧度/秒表示）通过齿轮回转系统和驱动器转化而来的，因此可以写出

$$V = K_v \omega_m \quad \dots \dots \quad (1)$$

式中 $K_v = \frac{3.6 r_0}{\mu}$ —— 比例系数 它相当于一丁放大环节的传递函数；

μ —— 齿轮回转比；

r_0 —— 列车驱动半径（米）。

通常每台机车上装有 4 台异步机，假定每台异步机所取相电流为 I_{as1} ，如果把 4 台异步机用 1 台等效异步机来代替，则等效异步机取电流 $I_{as} = 4 I_{as1}$ 。因此，等效电机八端相压的瞬时值可以写成

$$U_{as} = L_E \frac{d i_{as}}{dt} + R_i i_{as} + e_a \quad \dots \dots \quad (2)$$

式中 L_E —— 等效异步机总电感（亨），它是各台电机电感总值的并联值；

R_E — 等效步进电机总电阻(欧)，它是各支电刷电阻总值的并联值。

在(2)式中，电机的反电势 E_a 如果以有效值表示，则有

$$\begin{aligned} E_a &= k_{in} \omega_m \\ &= n C_w \phi \omega_m \\ &= n C_w C_i I_{as} \omega_m \end{aligned}$$

式中 n — 极对数，若 N 为极数，则 $n = \frac{N}{2}$ ；

$\phi = C_i I_{as}$ — 气隙磁通，随 I_{as} 而变；

C_w, C_i — 均为常数。

令 $Q_w = C_w C_i$ ，则反电势有效值的表达式为

$$E_a = \frac{N}{2} \omega_m Q_w I_{as} \quad (3)$$

假定变频调速的角频率为 ω_s 电弧度/秒，电网角频率为 ω 电弧度/秒。为了使系统能作为一丁定常系统来运行分析，今假定有一丁与逆变器可调频率 ω_s 同步旋转的空间坐标系，在这个坐标系上，(2)式可以近似地写为

$$U_{as} e^{j\varphi_a} = (L_E P + R_E + \frac{N}{2} \omega_m Q_w e^{j\varphi_a}) I_{as}$$

式中 φ_a — 功率因数角 [电弧度]；

Q_w — 常数；

$P = \frac{d}{dt}$ — 磁子。

$$\text{因此 } L_E P I_{as} = -R_E I_{as} - \frac{N e^{j\varphi_a}}{2 K_o} V Q_w I_{as} + U_{as} e^{j\varphi_a}$$

$$\text{或写成 } \dot{I}_{as} = -\frac{R_E}{L_E} I_{as} - \frac{N e^{j\varphi_a}}{2 K_o L_E} V Q_w I_{as} + \frac{1}{L_E} U_{as} e^{j\varphi_a}$$

此式是一阶微分方程，实轴是沿 I_{as} 方向。如果我们把实轴反时针方向旋转 φ_a 角，则方程变成

$$I_{as} e^{-i\varphi_a} \dot{=} -\frac{R_E}{L_E} I_{as} e^{-i\varphi_a} - N \sqrt{\omega_m} I_{as} + \frac{U_{as}}{L_E} \quad \dots \quad (4)$$

等效异步电机电流 I_{as} 后，它传递其机械系统的电磁功率用于三方面：① 列车的前进运动；② 电机、轮对和传动机构的旋转启动；③ 尾端列车运行阻力 w 。造成前两项的作用力可用下式表示：

$$f = m(1+r) \frac{du}{dx} \quad \dots \quad (5)$$

式中 $m = \frac{1000}{9.81} G$ —— 列车物理质量 ($\text{吨} \cdot \text{秒}^2/\text{米}$)；

G —— 列车重量与车辆侧重量的总和 (吨)；

$(1+r)$ —— 列车质量系数乘数，通常可取为 1.06。
等效异步机三相电磁力矩可写成

$$\begin{aligned} T_E &= 3 T_E u \\ &= 3 C_T \phi I_{as} \cos \varphi_a \end{aligned}$$

式中 C_T —— 常数。

电磁功率为

$$\begin{aligned} \omega_m T_E &= \omega_m T_L + \omega_m \Delta T \\ &= U w + m(1+r) U \frac{dv}{dx} \end{aligned}$$

因此 $3 K_E^{-1} C_T C_i I_{as}^2 \cos \varphi_a = w + m(1+r) \frac{dv}{dx}$

令 $\alpha_T = C_T C_i$ 则有

$$3 K_E^{-1} \alpha_T I_{as}^2 \cos \varphi_a = w + m(1+r) P v \quad \dots \quad (6)$$